Elettromagnetismo

Prof. Francesco Ragusa Università degli Studi di Milano

Lezione n. 22 - 02.03.2023

Campo B sull'asse di una spira Sorgenti del campo magnetico Circuitazione e rotore del campo magnetico Legge di Ampère; applicazioni

Anno Accademico 2022/2023

Campo magnetico sull'asse di una spira

- ullet Un altro problema semplice da risolvere $\dot{f e}$ il calcolo del campo magnetico sull'asse di una spira di raggio a
 - Il calcolo è semplice sull'asse
 - Complicato altrove
- Utilizziamo un metodo completamente vettoriale

$$d\mathbf{B} = \frac{\mu_0}{4\pi} i \frac{d\mathbf{l} \times (\mathbf{r}_2 - \mathbf{r}_1)}{|\mathbf{r}_2 - \mathbf{r}_1|^3}$$

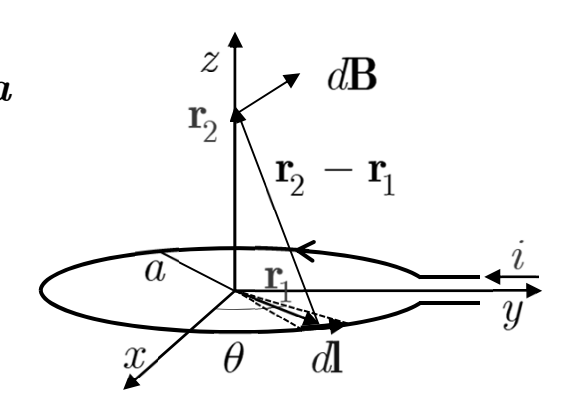


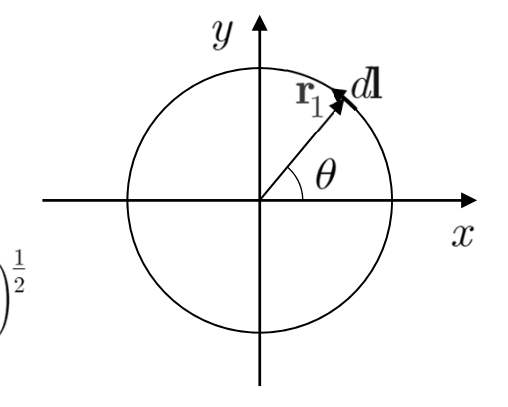
$$\mathbf{r}_{1} = \hat{\mathbf{e}}_{x} a \cos \theta + \hat{\mathbf{e}}_{y} a \sin \theta \qquad \mathbf{r}_{2} = \hat{\mathbf{e}}_{z} z$$

$$\mathbf{r}_{2} - \mathbf{r}_{1} = \hat{\mathbf{e}}_{z} z - \hat{\mathbf{e}}_{x} a \cos \theta - \hat{\mathbf{e}}_{y} a \sin \theta \qquad \left| \mathbf{r}_{2} - \mathbf{r}_{1} \right| = \left(a^{2} + z^{2} \right)^{\frac{1}{2}}$$

$$d\mathbf{l} \equiv d\mathbf{r}_1 = \frac{d\mathbf{r}_1}{d\theta} d\theta = \left(-\hat{\mathbf{e}}_x \sin\theta + \hat{\mathbf{e}}_y \cos\theta\right) a d\theta$$

• Calcoliamo il prodotto vettoriale





$$\left|\hat{\mathbf{e}}_x \times \hat{\mathbf{e}}_x = \hat{\mathbf{e}}_y \times \hat{\mathbf{e}}_y = \mathbf{0}\right|$$

$$d\mathbf{l} \times (\mathbf{r}_{2} - \mathbf{r}_{1}) = (-\hat{\mathbf{e}}_{x} \sin \theta + \hat{\mathbf{e}}_{y} \cos \theta) \times (\hat{\mathbf{e}}_{z}z - \hat{\mathbf{e}}_{x}a \cos \theta - \hat{\mathbf{e}}_{y}a \sin \theta)ad\theta$$

$$= (-\hat{\mathbf{e}}_{x} \times \hat{\mathbf{e}}_{z}z \sin \theta + \hat{\mathbf{e}}_{x} \times \hat{\mathbf{e}}_{y}a \sin^{2} \theta + \hat{\mathbf{e}}_{y} \times \hat{\mathbf{e}}_{z}z \cos \theta - \hat{\mathbf{e}}_{y} \times \hat{\mathbf{e}}_{x}a \cos^{2} \theta)ad\theta$$

Campo magnetico sull'asse di una spira

$$d\mathbf{l} \times (\mathbf{r}_2 - \mathbf{r}_1) = (-\hat{\mathbf{e}}_x \times \hat{\mathbf{e}}_z z \sin \theta + \hat{\mathbf{e}}_x \times \hat{\mathbf{e}}_y a \sin^2 \theta + \hat{\mathbf{e}}_y \times \hat{\mathbf{e}}_z z \cos \theta - \hat{\mathbf{e}}_y \times \hat{\mathbf{e}}_z a \cos^2 \theta) a d\theta$$

$$= (\hat{\mathbf{e}}_y z \sin \theta + \hat{\mathbf{e}}_z a \sin^2 \theta + \hat{\mathbf{e}}_z z \cos \theta + \hat{\mathbf{e}}_z a \cos^2 \theta) a d\theta$$

$$= (\hat{\mathbf{e}}_x z \cos \theta + \hat{\mathbf{e}}_y z \sin \theta + \hat{\mathbf{e}}_z a) a d\theta$$

ullet Inseriamo nella formula per $d{f B}$

$$d\mathbf{B} = \frac{\mu_0}{4\pi} i \frac{d\mathbf{l} \times (\mathbf{r}_2 - \mathbf{r}_1)}{|\mathbf{r}_2 - \mathbf{r}_1|^3} = \frac{\mu_0}{4\pi} i a \frac{\hat{\mathbf{e}}_x z \cos \theta + \hat{\mathbf{e}}_y z \sin \theta + \hat{\mathbf{e}}_z a}{|\mathbf{r}_2 - \mathbf{r}_1|^3} d\theta$$
$$= \frac{\mu_0}{4\pi} i a \frac{\hat{\mathbf{e}}_x z \cos \theta + \hat{\mathbf{e}}_y z \sin \theta + \hat{\mathbf{e}}_z a}{(a^2 + z^2)^{\frac{3}{2}}} d\theta$$

ullet Integriamo su tutta la spira (da heta=0 a $heta=2\pi)$

$$\mathbf{B}(z) = \frac{\mu_0}{4\pi} ia \int_0^{2\pi} \frac{\hat{\mathbf{e}}_z z \cos \theta + \hat{\mathbf{e}}_z z \sin \theta + \hat{\mathbf{e}}_z a}{\left(a^2 + z^2\right)^{\frac{3}{2}}} d\theta$$

Campo magnetico sull'asse di una spira

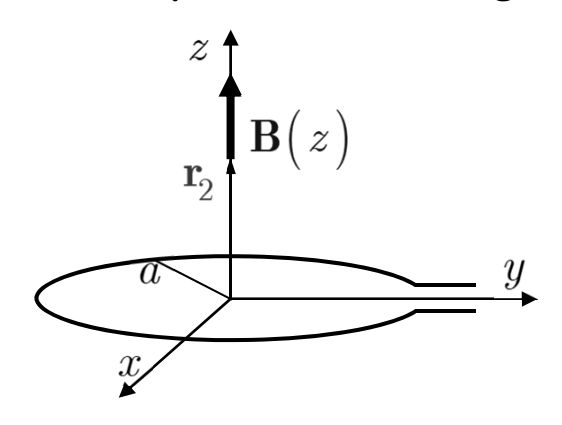
$$\mathbf{B}(z) = \frac{\mu_0}{4\pi} ia \int_0^{2\pi} \frac{\hat{\mathbf{e}}_z z \cos \theta + \hat{\mathbf{e}}_z z \sin \theta + \hat{\mathbf{e}}_z a}{\left(a^2 + z^2\right)^{\frac{3}{2}}} d\theta$$

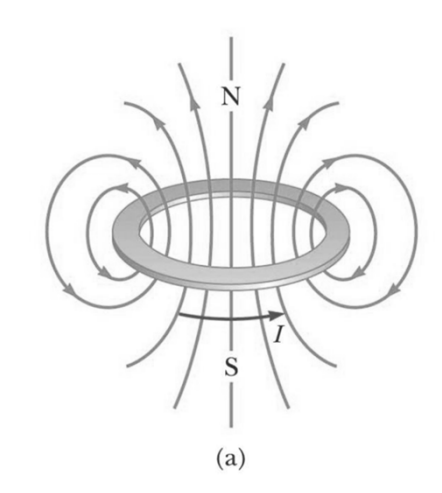
- Notiamo che il denominatore è costante
- Inoltre l'integrale dei primi due termini è nullo $\int_{0}^{2\pi}\sin\theta d\theta=\int_{0}^{2\pi}\cos\theta d\theta=0$

$$\mathbf{B}(z) = \frac{\mu_0}{4\pi} ia \int_0^{2\pi} \frac{\hat{\mathbf{e}}_z a}{\left(a^2 + z^2\right)^{\frac{3}{2}}} d\theta \qquad \mathbf{B}(z) = \frac{\mu_0}{2} \frac{ia^2}{\left(a^2 + z^2\right)^{\frac{3}{2}}} \hat{\mathbf{e}}_z$$

$$\mathbf{B}(z) = \frac{\mu_0}{2} \frac{ia^2}{\left(a^2 + z^2\right)^{\frac{3}{2}}} \hat{\mathbf{e}}_z$$

ullet Come atteso il campo è diretto lungo l'asse z





Campo di una densità di corrente

ullet Anche la legge di Biot e Savart può essere generalizzata ad una densità di corrente J

$$\mathbf{B}(\mathbf{r}_{2}) = \frac{\mu_{0}}{4\pi} i \oint_{C} \frac{d\mathbf{l}_{1} \times (\mathbf{r}_{2} - \mathbf{r}_{1})}{\left|\mathbf{r}_{2} - \mathbf{r}_{1}\right|^{3}} \qquad i = S \left|\mathbf{J}\right|$$

$$\mathbf{B}(\mathbf{r}_{2}) = \frac{\mu_{0}}{4\pi} \oint_{C} \frac{\left|\mathbf{J}\right| dad\mathbf{l}_{1} \times (\mathbf{r}_{2} - \mathbf{r}_{1})}{\left|\mathbf{r}_{2} - \mathbf{r}_{1}\right|^{3}}$$

- In questa formula
 - ullet Il vettore $d\! l$ è perpendicolare a $S \, (da) \! : \, da \, dl_1 = d \, V_1$
 - ullet Il vettore $d{
 m l}$ e il vettore ${
 m J}$ sono paralleli
- ullet Estendendo l'integrazione anche a da su tutto il volume V otteniamo

$$\mathbf{B}(\mathbf{r}_{2}) = \frac{\mu_{0}}{4\pi} \int_{V}^{\mathbf{J}(\mathbf{r}_{1}) \times (\mathbf{r}_{2} - \mathbf{r}_{1})} dV_{1}$$

$$|\mathbf{r}_{2} - \mathbf{r}_{1}|^{3}$$

- Sottolineiamo che
 - ullet L'integrazione è fatta rispetto alla variabile ${f r}_1$
 - ullet La densità di corrente è calcolata nel punto ${f r}_1$

Campo di una densità di corrente

• La legge di Biot e Savart gioca per la magnetostatica un ruolo simile al ruolo che la legge di Coulomb gioca per l'elettrostatica

$$\mathbf{B}(\mathbf{r}) = \frac{\mu_0}{4\pi} \int_{V}^{\mathbf{J}(\mathbf{r}') \times (\mathbf{r} - \mathbf{r}')} \frac{\mathbf{J}(\mathbf{r}') \times (\mathbf{r} - \mathbf{r}')}{|\mathbf{r} - \mathbf{r}'|^{3}} dV' \quad \mathbf{E}(\mathbf{r}) = \frac{1}{4\pi\varepsilon_0} \int_{V}^{\mathbf{r}} \rho(\mathbf{r}') \frac{(\mathbf{r} - \mathbf{r}')}{|\mathbf{r} - \mathbf{r}'|^{3}} dV'$$

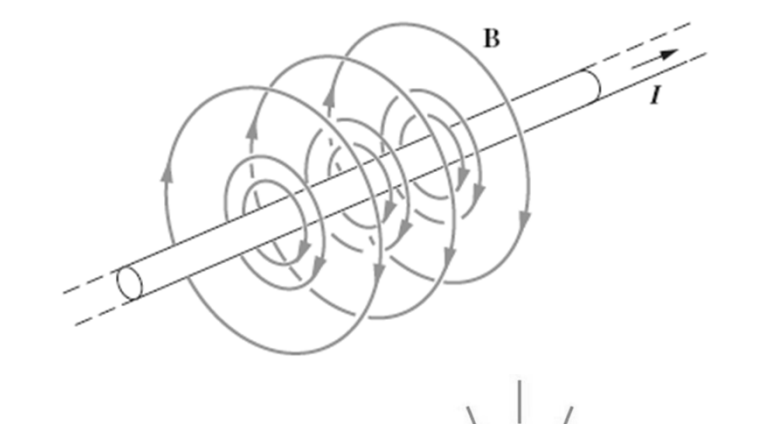
- Tuttavia, nel caso dell'elettrostatica l'integrando rappresenta il contributo al campo elettrico di una carica elementare
- Nel caso della magnetostatica l'elemento di corrente elementare non ha senso fisico definito
- Si potrebbe pensare che una carica in moto rappresenti una densità di corrente elementare che genera una campo magnetico elementare
 - Ad esempio un moto rettilineo uniforme

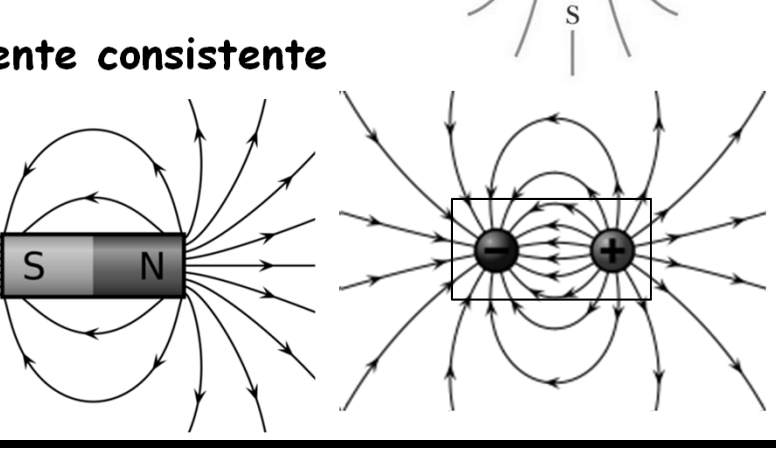
$$\mathbf{J}(\mathbf{r}')dV' = dq\mathbf{v} \quad \mathbf{r}' = \mathbf{r}_0 + \mathbf{v}t \qquad d\mathbf{B}(\mathbf{r}) = \frac{\mu_0}{4\pi} \frac{\mathbf{J}(\mathbf{r}') \times (\mathbf{r} - \mathbf{r}')}{|\mathbf{r} - \mathbf{r}'|^3} dV'$$

- Questo è SBAGLIATO!
 - ullet La densità di corrente dqv NON è stazionaria
 - Genera un campo magnetico dipendente dal tempo

L'assenza delle cariche magnetiche

- Richiamiamo la forma del campo generato da un filo infinito
 - Le linee di campo sono circonferenze intorno al filo
 - Sono linee chiuse, senza sorgente!
- Analogamente per il campo della spira
 - Anche in questo caso le linee di campo sono chiuse
 - Al limite partono e finiscono all'infinito
- Abbiamo già notato la similitudine fra il campo di un magnete permanente e un dipolo elettrico
 - Si potrebbe essere tentati di pensare che esistano le cariche magnetiche
 - Si tratterebbe di una teoria perfettamente consistente
- Tuttavia le cariche magnetiche non esistono
 - Vedremo che anche nella materia i campi sono generati da correnti
 - A livello microscopico, da correnti
 atomiche





L'assenza delle cariche magnetiche

• Per il campo elettrico abbiamo visto che il legame fra la carica elettrica e il campo poteva essere descritto matematicamente dalla legge di Gauss

$$\mathbf{\nabla} \cdot \mathbf{E} = \frac{\rho}{\varepsilon_0}$$

ullet L'evidenza sperimentale che non esistono le cariche magnetiche si esprime dicendo che il campo B ha la proprietà

$$\mathbf{\nabla} \cdot \mathbf{B} = 0$$

- Questa legge esprime matematicamente il fatto che il campo magnetico non è generato da cariche magnetiche
- Esprime anche il fatto che le linee non hanno sorgente
- Infine dice anche che le linee di campo sono chiuse
- Un campo con divergenza nulla è detto solenoidale
- Ritorniamo al campo del filo infinito
 - Lo abbiamo calcolato con la formula

$$\mathbf{B}(\mathbf{r}) = \frac{\mu_0}{4\pi} i \oint_C \frac{d\mathbf{l}' \times (\mathbf{r} - \mathbf{r}')}{\left|\mathbf{r} - \mathbf{r}'\right|^3} = \frac{\mu_0}{4\pi} \int_V \frac{\mathbf{J}(\mathbf{r}') \times (\mathbf{r} - \mathbf{r}')}{\left|\mathbf{r} - \mathbf{r}'\right|^3} dV'$$

- Dimostriamo che un campo che si può scrivere con la formula di Biot e Savart ha divergenza nulla
- ullet Preliminarmente alcune formule matematiche con l'operatore abla

Operatore ∇ applicato a prodotti

- ullet Con l'operatore "Nabla" (
 abla) abbiamo definito tre operazioni applicandolo ...
 - ullet Ad una funzione scalare per costruire un vettore: $abla \phi$
 - ullet Ad una funzione vettoriale per costruire uno scalare: divergenza $abla \cdot \mathbf{F}$
 - ullet Ad una funzione vettoriale per costruire un vettore: rotore abla imes F
- Ci sono due modi per costruire una funzione scalare a partire da due funzioni (scalari o vettoriali)
 - Prodotto di due funzioni scalari fg
 - Prodotto di due funzioni vettoriali A·B
- Analogamente ci sono due modi per costruire una funzione vettoriale a partire da due funzioni (scalari o vettoriali)
 - ullet Prodotto di una funzione scalare e una vettoriale fA
 - ullet Prodotto di due funzioni vettoriali ${f A}{f imes}{f B}$
- Esamineremo le formule per calcolare ...
 - Il gradiente per i primi due casi
 - La divergenza per il terzo e quarto caso
 - Il rotore per il terzo e quarto caso
 - In totale sei formule
- Abbiamo così esaurito tutte le possibilità di applicare l'operatore Nabla al prodotto di due funzioni (scalari o vettoriali)

Operatore ∇ applicato a prodotti

• Gradiente di una funzione scalare (risultato di un prodotto)

$$\nabla fg = f\nabla g + g\nabla f$$

$$\mathbf{\nabla} (\mathbf{A} \cdot \mathbf{B}) = \mathbf{A} \times (\mathbf{\nabla} \times \mathbf{B}) + \mathbf{B} \times (\mathbf{\nabla} \times \mathbf{A}) + (\mathbf{A} \cdot \mathbf{\nabla}) \mathbf{B} + (\mathbf{B} \cdot \mathbf{\nabla}) \mathbf{A}$$

Divergenza di una funzione vettoriale (risultato di un prodotto)

$$\mathbf{
abla}\cdotig(f\mathbf{A}ig)=fig(\mathbf{
abla}\cdot\mathbf{A}ig)+\mathbf{A}\cdotig(\mathbf{
abla}fig)$$

$$\mathbf{
abla}\cdot\left(\mathbf{A} imes\mathbf{B}
ight)=\mathbf{B}\cdot\left(\mathbf{
abla} imes\mathbf{A}
ight)-\mathbf{A}\cdot\left(\mathbf{
abla} imes\mathbf{B}
ight)$$

• Rotore di una funzione vettoriale (risultato di un prodotto)

$$\mathbf{\nabla} \times (f\mathbf{A}) = f(\mathbf{\nabla} \times \mathbf{A}) - \mathbf{A} \times (\mathbf{\nabla} f)$$

$$oldsymbol{
abla} imes oldsymbol{(\mathbf{A} imes \mathbf{B})} = ig(\mathbf{B} \cdot oldsymbol{
abla} ig) \mathbf{A} - ig(\mathbf{A} \cdot oldsymbol{
abla} ig) \mathbf{B} + \mathbf{A} ig(oldsymbol{
abla} \cdot oldsymbol{\mathbf{B}} ig) - \mathbf{B} ig(oldsymbol{
abla} \cdot oldsymbol{\mathbf{A}} ig)$$

• Una precisazione sull'espressione

$$\left[\left(\mathbf{A} \cdot \mathbf{\nabla} \right) \mathbf{B} \right]_{x} = \left[A_{x} \frac{\partial}{\partial x} + A_{y} \frac{\partial}{\partial y} + A_{z} \frac{\partial}{\partial z} \right] B_{x}$$

ullet Analogamente per le componenti y e z

Divergenza del campo magnetico

- Calcoliamo la divergenza di B
 - Sottolineiamo che calcoliamo le derivate rispetto a r

$$\mathbf{B}(\mathbf{r}) = \frac{\mu_0}{4\pi} \int_{V}^{\infty} \frac{\mathbf{J}(\mathbf{r}') \times (\mathbf{r} - \mathbf{r}')}{|\mathbf{r} - \mathbf{r}'|^3} dV'$$

$$\nabla_{\mathbf{r}} \cdot \mathbf{B}(\mathbf{r}) = \frac{\mu_0}{4\pi} \int_{V} \nabla_{\mathbf{r}} \cdot \frac{\mathbf{J}(\mathbf{r}') \times (\mathbf{r} - \mathbf{r}')}{|\mathbf{r} - \mathbf{r}'|^3} dV'$$

- ullet Con $abla_{
 m r}$ intendiamo l'operatore abla che agisce sulle coordinate ${
 m r}$
- Inoltre abbiamo scambiato l'ordine di derivazione integrazione
- ullet Utilizziamo l'identità $abla \cdot (\mathrm{C} imes \mathrm{D}) = \mathrm{B} \cdot
 abla imes \mathrm{C} \mathrm{C} \cdot
 abla imes \mathrm{D}$

$$C = J(r')$$

$$ullet$$
 Evidentemente $abla_{
m r} imes J({
m r}')=0$

$$\bullet~J(\mathbf{r'})$$
 non dipende da \mathbf{r}

$$\mathbf{D} = \frac{\left(\mathbf{r} - \mathbf{r}'\right)}{\left|\mathbf{r} - \mathbf{r}'\right|^3}$$

$$\mathbf{\nabla} \cdot \mathbf{B}(\mathbf{r}) = -\frac{\mu_0}{4\pi} \int_{V} \mathbf{J}(\mathbf{r}') \cdot \mathbf{\nabla}_{\mathbf{r}} \times \frac{(\mathbf{r} - \mathbf{r}')}{|\mathbf{r} - \mathbf{r}'|^3} dV'$$

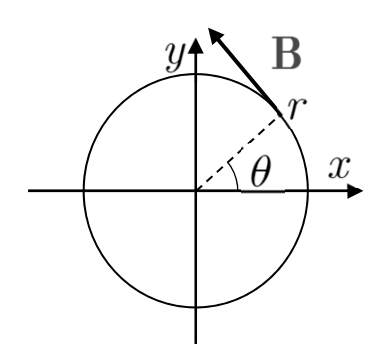
- Notiamo che l'argomento di $\nabla_{\mathbf{r}} \times$ è sostanzialmente il campo elettrostatico di una carica puntiforme $\nabla_{\mathbf{r}} \times \frac{\left(\mathbf{r} \mathbf{r}'\right)}{\left|\mathbf{r} \mathbf{r}'\right|^3} = 0$
 - Il suo rotore è pertanto nullo
- Pertanto

$$\nabla \cdot \mathbf{B} = 0$$

- La divergenza del campo magnetico esprime una proprietà importante del campo
 - Come in elettrostatica, ci permetterà di scrivere equazioni differenziali
- Tuttavia non definisce il legame del campo con le sue sorgenti
 - Ricordiamo che nel caso del campo elettrico la circuitazione esprimeva la proprietà del campo di essere conservativo
- Ritorniamo al campo del filo infinito
 - Le linee di campo sono delle circonferenze intorno al filo
 - Il modulo del campo dipende dalla distanza dal filo

$$B = \frac{\mu_0}{2\pi} i \frac{1}{r}$$

• Per completezza, le componenti cartesiane sono

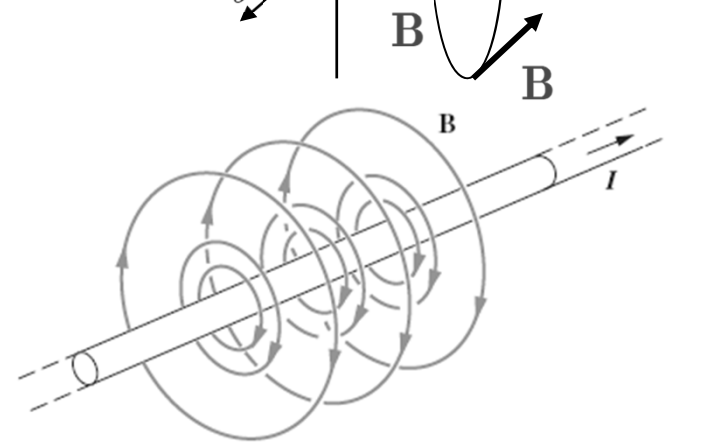


$$B_{x} = -\frac{\mu_{0}}{2\pi} i \frac{\sin \theta}{r}$$

$$B_{y} = +\frac{\mu_{0}}{2\pi} i \frac{\cos \theta}{r}$$

$$B_y = +\frac{\mu_0}{2\pi} i \frac{\cos \theta}{r}$$

$$B_{x}=0$$



ullet Iniziamo con la circuitazione di ${f B}$ lungo il cammino indicato in figura

$$\oint_{\Gamma} \mathbf{B} \cdot d\mathbf{l} = \int_{\Gamma_a} \mathbf{B} \cdot d\mathbf{l} + \int_{\Gamma_b} \mathbf{B} \cdot d\mathbf{l} + \int_{\Gamma_c} \mathbf{B} \cdot d\mathbf{l} + \int_{\Gamma_d} \mathbf{B} \cdot d\mathbf{l}$$

- ullet L'integrale lungo Γ_a e lungo Γ_c è nullo
 - Il cammino è radiale
 - ullet È perpendicolare al campo magnetico: $\mathbf{B} \cdot d\mathbf{l} = 0$
- ullet Lungo Γ_b il modulo di B è costante e l'integrale è

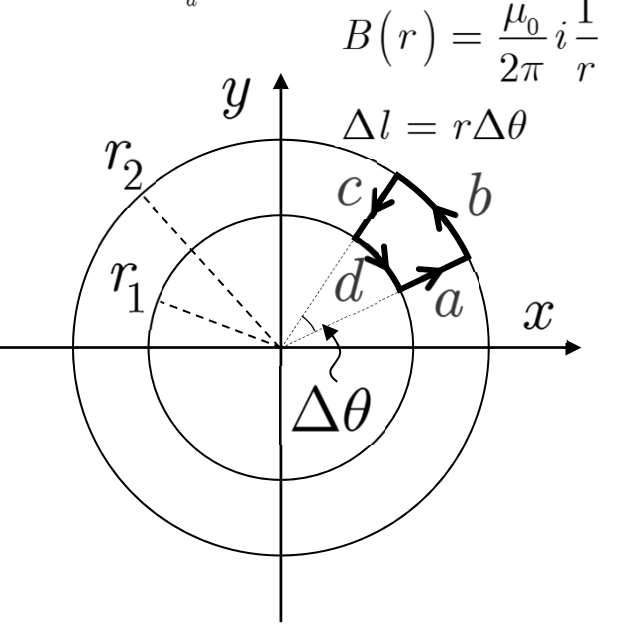
$$\int_{\Gamma_b} \mathbf{B} \cdot d\mathbf{l} = B(r_2) \Delta l = \frac{\mu_0}{2\pi} \frac{i}{r_2} r_2 \Delta \theta = \mu_0 i \frac{\Delta \theta}{2\pi}$$

ullet Analogamente l'integrale lungo Γ_d è

$$\int_{\Gamma_d} \mathbf{B} \cdot d\mathbf{l} = -\frac{\mu_0}{2\pi} i \frac{r_1 \Delta \theta}{r_1} = -\mu_0 i \frac{\Delta \theta}{2\pi}$$

- Il segno meno deriva dal fatto che il campo magnetico e il cammino hanno verso opposto
- In definitiva

$$\oint_{\Gamma} \mathbf{B} \cdot d\mathbf{l} = \mu_0 i \frac{\Delta \theta}{2\pi} - \mu_0 i \frac{\Delta \theta}{2\pi} = 0$$



- Consideriamo ancora il campo magnetico di un filo infinito
 - ullet Calcoliamo adesso la circuitazione lungo il cammino Γ in figura
 - ullet Una circonferenza di raggio $r_{\scriptscriptstyle 1}$ centrata sul filo
 - Il campo magnetico e il cammino sono sempre paralleli

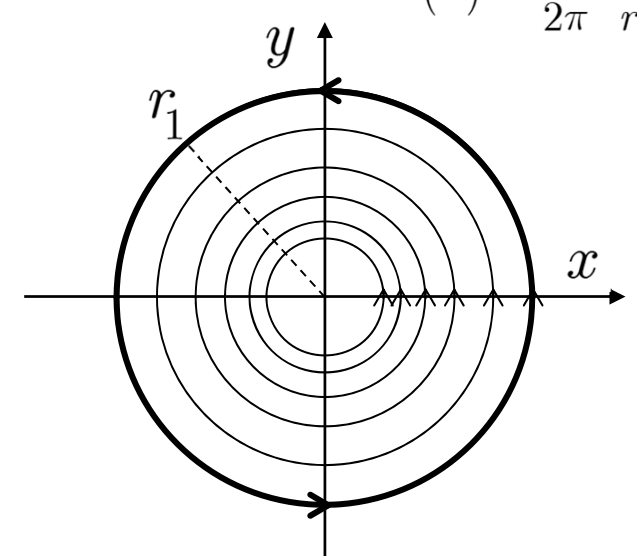
$$B(r) = \frac{\mu_0}{2\pi} i \frac{1}{r}$$

$$\mathbf{B} \cdot d\mathbf{l} = Bdl = B(r_1)r_1d\theta$$

Otteniamo pertanto

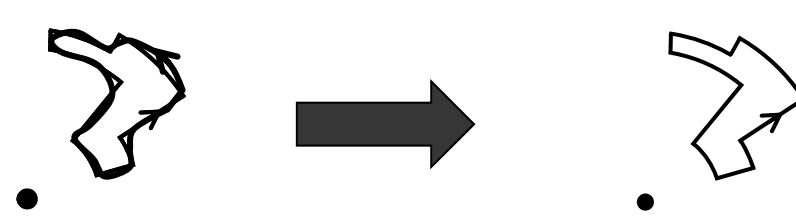
$$\oint_{\Gamma} \mathbf{B} \cdot d\mathbf{l} = \int_{0}^{2\pi} B(r_1) r_1 d\theta = \int_{0}^{2\pi} \frac{\mu_0}{2\pi} \frac{i}{r_1} r_1 d\theta$$

$$\oint_{\Gamma} \mathbf{B} \cdot d\mathbf{l} = \mu_0 i$$



- In questo caso la circuitazione non è nulla
- A differenza dal caso precedente il cammino "gira intorno" a una corrente
 - Si dice che la corrente è concatenata con il cammino
- ullet Notiamo che il campo magnetico B non \dot{ullet} conservativo

- I due risultati trovati possono essere espressi con una unica legge
 - La circuitazione del campo magnetico è uguale alla corrente concatenata con il cammino
 - Se non c'è corrente concatenata la circuitazione è nulla
- Tuttavia abbiamo utilizzato cammini particolari
 - Circonferenze, archi di circonferenza, raggi
- Si dimostra facilmente che i due risultati trovati valgono per cammini arbitrari
- Iniziamo con un cammino senza corrente concatenata
 - Consideriamo ad esempio il cammino in figura



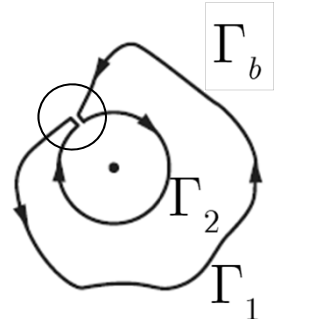
Ogni arco $rac{\mu_0}{2\pi}i\Delta heta$

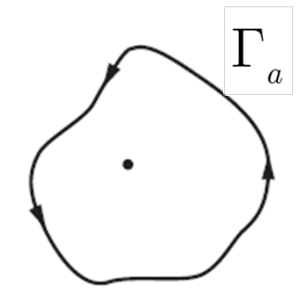
 $\Delta heta$ negativo o positivo

$$\sum_{k} \Delta \theta_{k} = 0$$

- È evidente che può essere approssimato con cammini infinitesimi fatti con raggi e circonferenze
- Ci si convince facilmente che la circuitazione lungo il cammino è nulla
 - I cammini radiali non contribuiscono
 - I contributi dei cammini lungo gli archi si elidono

- ullet Consideriamo adesso un cammino Γ_a concatenato con una corrente
 - ullet Consideriamo anche il cammino Γ_h
 - La parte di "raccordo" può essere resa trascurabile
 - La parte esterna Γ_1 coincide, a meno di un tratto infinitesimo, con Γ_a





- ullet La parte interna Γ_2 , a meno di un tratto infinitesimo mancante, è una circonferenza come quelle utilizzato fino ad ora
 - ullet Rispetto alla corrente concatenata i cammini Γ_1 e Γ_2 sono percorsi in senso opposto
- Avremo

$$\oint_{\Gamma_b} \mathbf{B} \cdot d\mathbf{l} = 0 \qquad \oint_{\Gamma_b} \mathbf{B} \cdot d\mathbf{l} \approx \oint_{\Gamma_1} \mathbf{B} \cdot d\mathbf{l} + \oint_{\Gamma_2} \mathbf{B} \cdot d\mathbf{l} \qquad \boxed{\oint_{\Gamma_1} \mathbf{B} \cdot d\mathbf{l} = -\oint_{\Gamma_2} \mathbf{B} \cdot d\mathbf{l}}$$

$$\oint_{\Gamma_1} \mathbf{B} \cdot d\mathbf{l} = -\oint_{\Gamma_2} \mathbf{B} \cdot d\mathbf{l}$$

- ullet Abbiamo visto che la circuitazione lungo Γ_2 è proporzionale alla corrente concatenata
 - In questo caso con il segno meno

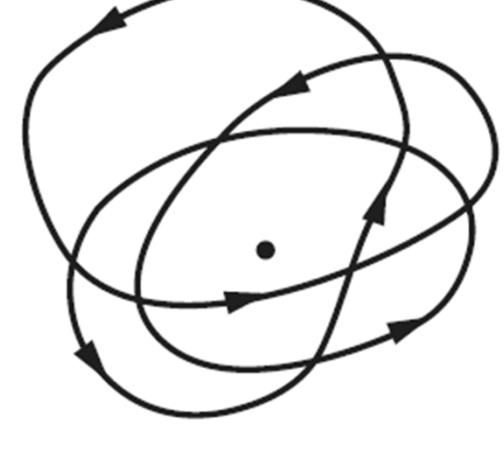
$$\oint_{\Gamma_2} \mathbf{B} \cdot d\mathbf{l} = -\mu_0 i \qquad \Longrightarrow \oint_{\Gamma_1} \mathbf{B} \cdot d\mathbf{l} = \mu_0 i \qquad \Longrightarrow \oint_{\Gamma_a} \mathbf{B} \cdot d\mathbf{l} = \mu_0 i$$

- Per finire consideriamo un cammino che "gira" intorno alla corrente più di una volta
 - Utilizzando opportuni tratti radiali rispetto al filo, il cammino può essere suddiviso in più cammini chiusi ognuno dei quali "gira" intorno al filo una sola volta
 - ullet Se complessivamente il cammino gira intorno al filo N volte avremo

$$\oint_{\Gamma} \mathbf{B} \cdot d\mathbf{l} = N\mu_0 i$$

- Per tutti i casi considerati abbiamo usato il campo magnetico di un filo infinito
 - Possiamo considerare un fatto sperimentale il risultato che la legge trovata vale per qualunque campo magnetico generato da un sistema arbitrario di correnti stazionarie
 - Anche più fili percorsi da correnti diverse
 - Il risultato è sempre

$$\oint_{\Gamma} \mathbf{B} \cdot d\mathbf{l} = \mu_0 \sum_{k} i_k$$



- Finora abbiamo considerato le correnti trasportate da fili conduttori
 - I risultati trovati possono essere estesi a sistemi descritti dalla densità di corrente
 - Supponiamo di analizzare un sistema caratterizzato da una densità di corrente J(x,y,z)
 - Ricordiamo che la condizione di corrente stazionaria implica

$$\frac{\partial \rho}{\partial t} = 0$$
 Per l'equazione di continuità avremo $\mathbf{\nabla} \cdot \mathbf{J} \big(x, y, z \big) = 0$

$$\mathbf{\nabla} \cdot \mathbf{J}(x, y, z) = 0$$

La legge di Ampère diventa

$$\oint_{\Gamma} \mathbf{B} \cdot d\mathbf{l} = \mu_0 \int_{S} \mathbf{J} \cdot d\mathbf{a}$$

• Applichiamo il teorema di Stokes al primo membro

$$\oint_{\Gamma} \mathbf{B} \cdot d\mathbf{l} = \int_{S} \mathbf{\nabla} \times \mathbf{B} \cdot d\mathbf{a} \qquad \int_{S} \mathbf{\nabla} \times \mathbf{B} \cdot d\mathbf{a} = \mu_{0} \int_{S} \mathbf{J} \cdot d\mathbf{a}$$

ullet Dato che la relazione vale per Γ (S) arbitrari

$$\mathbf{\nabla} \times \mathbf{B} = \mu_0 \mathbf{J}$$

- In alcune circostanze il teorema di Stokes richiede alcune accortezze
 - Oppure richiede l'estensione allo spazio delle distribuzioni
 - Situazione analoga al teorema della divergenza (vedi diap. 204-210 parte 1)

$$\mathbf{\nabla} \cdot \frac{\hat{\mathbf{r}}}{r^2} = 4\pi \delta^3(\mathbf{r})$$

Applichiamo ad esempio il teorema di Stokes al campo di un filo infinito

$$\mathbf{B}(\mathbf{r}) = \frac{\mu_0}{2\pi} i \frac{-y\hat{\mathbf{e}}_x + x\hat{\mathbf{e}}_y}{x^2 + y^2} \qquad \qquad \oint_{\Gamma} \mathbf{B} \cdot d\mathbf{l} = \int_{S} \mathbf{\nabla} \times \mathbf{B} \cdot d\mathbf{a}$$

ullet Calcoliamo il rotore di ${f B}$: ha solo la componente z

$$\begin{split} \left[\boldsymbol{\nabla}\times\mathbf{B}(\mathbf{r})\right]_z &= \frac{\partial B_y}{\partial x} - \frac{\partial B_x}{\partial y} = \frac{\mu_0}{2\pi}i \left[\frac{\partial}{\partial x} \frac{-y}{x^2 + y^2} - \frac{\partial}{\partial y} \frac{x}{x^2 + y^2}\right] \\ \frac{\partial}{\partial x} \frac{x}{x^2 + y^2} &= -\frac{2x^2}{(x^2 + y^2)^2} + \frac{1}{x^2 + y^2} \qquad \frac{\partial}{\partial y} \frac{y}{x^2 + y^2} = -\frac{2y^2}{(x^2 + y^2)^2} + \frac{1}{x^2 + y^2} \\ \left[\boldsymbol{\nabla}\times\mathbf{B}(\mathbf{r})\right]_z &= 0 \end{split}$$

- ullet Questo calcolo non vale per ${f r}=0$
- D'altro canto abbiamo visto che
 - Il teorema di Stokes sembrerebbe violato

$$\oint_{\Gamma} \mathbf{B} \cdot d\mathbf{l} = \mu_0 i$$

- Come abbiamo detto la situazione è analoga a quella del teorema della divergenza per il campo di una carica puntiforme
 - Il problema si risolve allo stesso modo
- ullet La densità di corrente di un filo di raggio nullo e diretta lungo z è

$$\mathbf{J}(\mathbf{r}) = i\delta(x)\delta(y)\,\hat{\mathbf{e}}_{z}$$

- Non è una funzione ordinaria. È una distribuzione (funzione generalizzata)
- ullet Possiamo a questo punto definire il rotore anche nel punto singolare ${f r}=0$

$$\mathbf{\nabla} \times \mathbf{B}(\mathbf{r}) = \frac{\mu_0}{2\pi} i \mathbf{\nabla} \times \frac{-y \hat{\mathbf{e}}_x + x \hat{\mathbf{e}}_y}{x^2 + y^2} = \mu_0 i \delta(x) \delta(y) \hat{\mathbf{e}}_z$$

Naturalmente

$$\nabla \times \mathbf{B}(\mathbf{r}) = \mu_0 \mathbf{J}(\mathbf{r})$$

- ullet Valida anche per ${f r}=0$
- Anche in questo caso la relazione ha un'interpretazione rigorosa nell'ambito della teoria delle distribuzioni[†]
 - ullet Tuttavia noi siamo abituati a considerare le funzioni $\delta(x)$ come funzioni ordinarie delle quali conosciamo le fondamentali regole di integrazione e derivazione
- †Kanwal R. Generalized Functions Theory and Applications 3rd ed. Springer 2004

- Per concludere dimostriamo che il campo B espresso con la legge di Biot-Savart soddisfa l'equazione del rotore appena vista
- $\mathbf{B}(\mathbf{r}) = \frac{\mu_0}{4\pi} \int_{V}^{\mathbf{J}(\mathbf{r}') \times (\mathbf{r} \mathbf{r}')} dV'$

• Calcoliamo il rotore

$$\nabla_{\mathbf{r}} \times \mathbf{B}(\mathbf{r}) = \frac{\mu_0}{4\pi} \int_{V} \nabla_{\mathbf{r}} \times \frac{\mathbf{J}(\mathbf{r}') \times (\mathbf{r} - \mathbf{r}')}{|\mathbf{r} - \mathbf{r}'|^3} dV'$$

- \bullet Ancora una volta $\nabla_{\mathbf{r}}$ agisce sulla variabile \mathbf{r} e inoltre abbiamo scambiato derivate e integrale
- Elaboriamo l'integrando utilizzando la formula (vedi diapositiva 55)

$$\mathbf{\nabla} \times (\mathbf{A} \times \mathbf{B}) = (\mathbf{B} \cdot \mathbf{\nabla})\mathbf{A} - (\mathbf{A} \cdot \mathbf{\nabla})\mathbf{B} + \mathbf{A}(\mathbf{\nabla} \cdot \mathbf{B}) - \mathbf{B}(\mathbf{\nabla} \cdot \mathbf{A})$$

ullet Poniamo temporaneamente $\mathbf{u} = \mathbf{r} - \mathbf{r'}$

$$\boldsymbol{\nabla}_{\mathbf{r}} \times \left[\mathbf{J} \left(\mathbf{r}' \right) \times \frac{\mathbf{u}}{\left| \mathbf{u} \right|^{3}} \right] = \left[\frac{\mathbf{u}}{\left| \mathbf{u} \right|^{3}} \cdot \boldsymbol{\nabla} \right] \mathbf{J} \left(\mathbf{r}' \right) - \left[\mathbf{J} \left(\mathbf{r}' \right) \cdot \boldsymbol{\nabla}_{\mathbf{r}} \right] \frac{\mathbf{u}}{\left| \mathbf{u} \right|^{3}} + \mathbf{J} \left(\mathbf{r}' \right) \left[\boldsymbol{\nabla}_{\mathbf{r}} \cdot \frac{\mathbf{u}}{\left| \mathbf{u} \right|^{3}} \right] - \frac{\mathbf{u}}{\left| \mathbf{u} \right|^{3}} \left[\boldsymbol{\nabla}_{\mathbf{r}} \cdot \mathbf{J} \left(\mathbf{r}' \right) \right]$$

- Il primo e il quarto termine sono nulli
 - ullet L'operatore $abla_{
 m r}$ è applicato a una funzione di ${
 m r}'$

• Pertanto l'integrando si riduce a

$$\boldsymbol{\nabla}_{\mathbf{r}} \times \left[\mathbf{J} \left(\mathbf{r}' \right) \times \frac{\left(\mathbf{r} - \mathbf{r}' \right)}{\left| \mathbf{r} - \mathbf{r}' \right|^{3}} \right] = - \left[\mathbf{J} \left(\mathbf{r}' \right) \cdot \boldsymbol{\nabla}_{\mathbf{r}} \right] \frac{\left(\mathbf{r} - \mathbf{r}' \right)}{\left| \mathbf{r} - \mathbf{r}' \right|^{3}} + \mathbf{J} \left(\mathbf{r}' \right) \left[\boldsymbol{\nabla}_{\mathbf{r}} \cdot \frac{\left(\mathbf{r} - \mathbf{r}' \right)}{\left| \mathbf{r} - \mathbf{r}' \right|^{3}} \right]$$

• Introduciamo nella formula dell'integrale

$$\mathbf{\nabla}_{\mathbf{r}} \times \mathbf{B}(\mathbf{r}) = -\frac{\mu_0}{4\pi} \int_{V} \left[\mathbf{J}(\mathbf{r}') \cdot \mathbf{\nabla}_{\mathbf{r}} \right] \frac{(\mathbf{r} - \mathbf{r}')}{|\mathbf{r} - \mathbf{r}'|^{3}} dV' + \frac{\mu_0}{4\pi} \int_{V} \mathbf{J}(\mathbf{r}') \left| \mathbf{\nabla}_{\mathbf{r}} \cdot \frac{(\mathbf{r} - \mathbf{r}')}{|\mathbf{r} - \mathbf{r}'|^{3}} \right| dV'$$

- Dimostreremo che il primo integrale è nullo
- Nel secondo integrale (vedi elettromagnetismo 1 diapositiva 208)

$$\nabla_{\mathbf{r}} \cdot \frac{\left(\mathbf{r} - \mathbf{r}'\right)}{\left|\mathbf{r} - \mathbf{r}'\right|^3} = 4\pi\delta\left(\mathbf{r} - \mathbf{r}'\right)$$

• Inseriamo nell'integrale

$$\mathbf{\nabla}_{\mathbf{r}} \times \mathbf{B}(\mathbf{r}) = \frac{\mu_0}{4\pi} \int_{V} \mathbf{J}(\mathbf{r}') \left[\mathbf{\nabla}_{\mathbf{r}} \cdot \frac{(\mathbf{r} - \mathbf{r}')}{|\mathbf{r} - \mathbf{r}'|^3} \right] dV' = \frac{\mu_0}{4\pi} \int_{V} \mathbf{J}(\mathbf{r}') 4\pi \delta(\mathbf{r} - \mathbf{r}') dV'$$

$$\mathbf{
abla} \mathbf{X} imes \mathbf{B} ig(\mathbf{r} ig) = \mu_0 \mathbf{J} ig(\mathbf{r} ig)$$

• Per completare la dimostrazione dimostriamo che il primo integrale è nullo

$$\int_{V} \left[\mathbf{J} \left(\mathbf{r}' \right) \cdot \mathbf{\nabla}_{\mathbf{r}} \right] \frac{\left(\mathbf{r} - \mathbf{r}' \right)}{\left| \mathbf{r} - \mathbf{r}' \right|^{3}} dV' = 0$$

- Si tratta di tre integrali, uno per ciascuna componente
 - ullet Ad esempio la componente x
- $\nabla_{\mathbf{r}}$ agisce su una funzione di $\mathbf{r} \mathbf{r'}$ $[\mathbf{J}(\mathbf{r'}) \cdot \nabla_{\mathbf{r}}] \frac{(\mathbf{r} \mathbf{r'})}{|\mathbf{r} \mathbf{r'}|^3} = -[\mathbf{J}(\mathbf{r'}) \cdot \nabla_{\mathbf{r'}}] \frac{(\mathbf{r} \mathbf{r'})}{|\mathbf{r} \mathbf{r'}|^3}$ ullet Possiamo fare agire abla su \mathbf{r}'
- Utilizziamo l'identità (vedi diapositiva 39)

$$\nabla \cdot (f\mathbf{A}) = f(\nabla \cdot \mathbf{A}) + \mathbf{A} \cdot (\nabla f) \qquad f(\mathbf{r}) = \frac{x - x'}{|\mathbf{r} - \mathbf{r}'|^3} \qquad \mathbf{A} = \mathbf{J}(\mathbf{r}')$$
• L'integrale della componente x diventa

$$-\int_{V} \left[\mathbf{J} \left(\mathbf{r}' \right) \cdot \boldsymbol{\nabla}_{\mathbf{r}'} \right] \frac{x - x'}{\left| \mathbf{r} - \mathbf{r}' \right|^{3}} dV' = -\int_{V} \boldsymbol{\nabla}_{\mathbf{r}'} \cdot \left[\mathbf{J} \left(\mathbf{r}' \right) \frac{x - x'}{\left| \mathbf{r} - \mathbf{r}' \right|^{3}} \right] dV' + \int_{V} \frac{\mathbf{x} - x'}{\left| \mathbf{r} - \mathbf{r}' \right|^{3}} \left[\boldsymbol{\nabla}_{\mathbf{r}'} \cdot \mathbf{J} \left(\mathbf{r}' \right) \right] dV'$$

- ullet In magnetostatica $abla_{\mathbf{r'}} \cdot \mathbf{J}(\mathbf{r'}) = 0$
- Il primo integrale può essere trasformato con il teorema della divergenza

$$\int_{V} \nabla_{\mathbf{r}'} \cdot \left[\mathbf{J} \left(\mathbf{r}' \right) \frac{x - x'}{\left| \mathbf{r} - \mathbf{r}' \right|^{3}} \right] dV' = \oint_{S} \left[\mathbf{J} \left(\mathbf{r}' \right) \frac{x - x'}{\left| \mathbf{r} - \mathbf{r}' \right|^{3}} \right] \hat{\mathbf{n}} da$$

• Facendo tendere la superficie all'infinito l'integrale è nullo

Magnetostatica ed elettrostatica

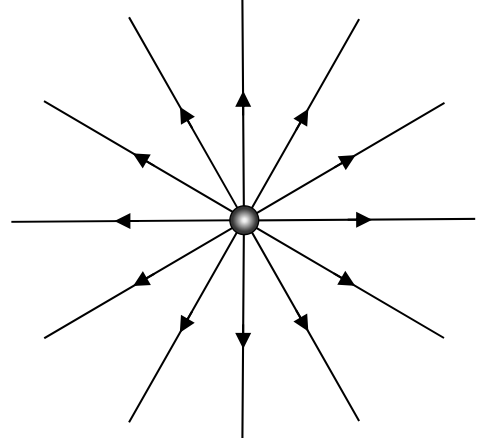
- Riepiloghiamo le leggi fin qui trovate per l'elettrostatica e la magnetostatica
 - Elettrostatica

$$\mathbf{\nabla} \cdot \mathbf{E} = \frac{\rho}{\varepsilon_0}$$

$$\nabla \times \mathbf{E} = 0$$

$$\oint_{S} \mathbf{E} \cdot d\mathbf{a} = \frac{Q}{\varepsilon_0}$$

$$\oint_{\Gamma} \mathbf{E} \cdot d\mathbf{l} = 0$$



Magnetostatica

$$\nabla \cdot \mathbf{B} = 0$$

$$\mathbf{\nabla} \times \mathbf{B} = \mu_0 \mathbf{J}$$

$$\oint_{S} \mathbf{B} \cdot d\mathbf{a} = 0$$

$$\oint_{\Gamma} \mathbf{B} \cdot d\mathbf{l} = \mu_0 \int_{S} \mathbf{J} \cdot d\mathbf{a}$$

$$\mathbf{F} = q\mathbf{E} + q\mathbf{v} \times \mathbf{B}$$

Unità di misura

ullet Le dimensioni e le unità di misura del campo di induzione magnetica B possono essere definite utilizzando la forza di Lorentz

$$\mathbf{F} = q\mathbf{E} + q\mathbf{v} \times \mathbf{B}$$

- ullet Assumiamo ${
 m E}=0$
- Nel sistema MKSA le dimensioni del campo B sono

$$\left[\mathbf{B}\right] = \frac{\mathbf{N}}{\mathbf{C} \,\mathbf{m} \,\mathbf{s}^{-1}} = \frac{\mathbf{N}}{\mathbf{A} \,\mathbf{m}}$$

- L'unità di misura nel sistema MKSA è il Tesla, simbolo T
- \bullet Un campo magnetico di un Tesla esercita la forza di $1\ N$ su una carica di $1\ C$ che si muove con una velocità di $1\ m/s$
 - ullet Il campo magnetico terrestre è dell'ordine di $10^{-5}~{
 m T}$
- È molto utilizzato un sottomultiplo improprio: il Gauss G
 - Improprio perché in realtà è l'unità di misura nel sistema CGS
 - Le dimensioni sono diverse
 - ullet Tuttavia, numericamente, $1 \mathrm{T} = 10^4 \mathrm{~G}$
 - ullet Il campo magnetico terrestre è dell'ordine di $0.1~{
 m G}$
- ullet Notiamo infine le dimensioni di ${f B}$ rispetto a quelle di ${f E}$

$$[v][\mathbf{B}] = [\mathbf{E}]$$